Permalink PROGENESIS PERMALINK

0200HO11969 BLIZZARD x GUARANTEE x RUBICON

GENOMAX A2A2

PROGENESIS BLIZZARD
PROGENESIS GUARANTEE PIP G-77-3YR-CAN
WESTCOAST GUARANTEE
SYNERGY RUBICON PERFECT GP-84-2YR-USA 10*
EDG RUBICON
SYNERGY UNO POT O GOLD VG-88-8YR-USA

SYNERGY RUBICON PERFECT
GRANDDAM

SYNERGY UNO POT O GOLD
THIRD DAM

GTPI 2989

TD TR TL TY MWT TV 99%-I HH1F HH2F HH3F HH4F HH5F HH6F HCDF HMWF

Reg. #: HOCANM13567567	aAa:	DMS:
Data nascita: 10/31/2019	Kappa Caseina: AB	Beta Caseina: A2A2

PRODUZIONE

G Allev. G Figlie 82% Att. CDCB-G / 04-25

Latte lbs **-530**	Grasso lbs **62**	Grasso % **+0.33**	Proteina lbs **26**	Proteina % **+0.17**
NM$ **507**	CM$ **568**	FM$ **363**	GM$ **544**	DWP$ **331**
Efficienza Alimentare **162**	RFI **-52**	Risparmio Sostanza Secca **0**	Efficienza Metano **103**	

TRATTI GESTIONALI

Immunity 96

Vita produttiva	**2.1**	Immunità vitelli	**94**
Cellule somatiche	**2.88**	Tasso Concepimento Vacche	**3.5**
Fertilità Figlie	**1.8**	Tasso Concepimento Manze	**1.4**
Ind. Sopravvivenza	**-0.6**	Facilità al parto	**2.2%** 64% Att.
Ind. Sopravvivenza Manze	**0.2**	Facilità al parto delle figlie	**2.0%** 62% Att.
Indice Fertilità	**2.5**	Vitalità vitelli	**6.3%**
		Vitalità figli delle figlie	**4.9%**

MORFOLOGIA

G Allev. G Figlie 81% Att. HAUSA-G / 04-25

PTA Tipo	**-0.03**	Struttura	**0.32**
Mammella	**0.18**	Caratteri da Latte	**-0.30**
Arti e Piedi	**-0.64**		

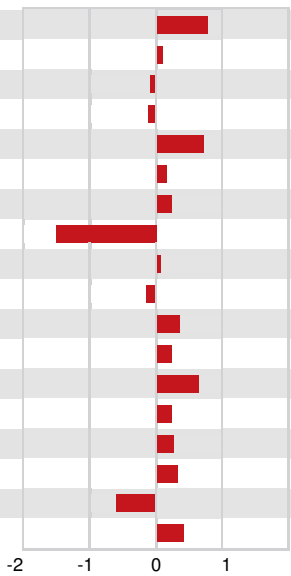

Statura	Alta	**+0.80**
Forza-Vigore	Forte	**+0.10**
Profondità	Poco profondo	**-0.05**
Caratteri da Latte	Cost. Chiuso	**-0.09**
Angolo Groppa	Spiovente	**+0.72**
Groppa larghezza	Larga	**+0.16**
Arti post. Vista lat.	Falciati	**+0.24**
Arti post. Vista post.	Vaccini	**-1.51**
Angolo del Piede	Alto	**+0.08**
Mobilità	Non desiderabile	**-0.14**
Mammella Anteriore	Forte	**+0.37**
Mamm. Post. Altezza	Alta	**+0.23**
Mamm. Post. Larghezza	Larga	**+0.68**
Legamento	Forte	**+0.24**
Profondità Mammella	Alta	**+0.28**
Posiz. Capezzoli ant.	Convergenti	**+0.32**
Capezzoli lunghezza	Corti	**-0.61**
Posiz. Capezzoli post.	Convergenti	**+0.42**